

GP 3: Análisis de circuitos de CA en estado estacionario

GP 4: Análisis de circuitos de CA - Filtros pasivos

Unidades temáticas relacionadas:

UT III: MEDICIÓN DE SEÑALES VARIABLES EN EL TIEMPO

UT IV: CIRCUITOS DE "CORRIENTE ALTERNA"

Introducción y repaso:

a) Diferencias y semejanzas entre las Teorías de Circuitos para CC y para CA

En CC: $V(t) = \text{constante}$, $I(t) = \text{constante}$

1ª Ley de Ohm para CC: $R(\Omega) = V(V) / I(A)$; R es la *resistencia*; $R = 1/G$; $1\Omega = 1/S$
 $G(S) = I(A) / V(V)$; G es la *conductancia*; $G = 1/R$; $1S = 1/\Omega$

En CA:

Tensiones y corrientes armónicas, equivalencia como Nos. complejos:

Las tensiones y las corrientes varían en el tiempo en forma sinusoidal (senos o cosenos) y se denominan *funciones armónicas*. Son tensiones y corrientes físicas reales que pueden visualizarse mediante instrumentos de medida, y que pueden representarse mediante números complejos equivalentes:

$$V(t) = V_0 \sin(\omega t + \varphi_V) \equiv V_0 e^{j(\omega t + \varphi_V)}$$

$$I(t) = I_0 \sin(\omega t + \varphi_I) \equiv I_0 e^{j(\omega t + \varphi_I)}$$

donde: $T(s) \equiv$ período de la senoide; $f(Hz) = 1/T(s) \equiv$ frecuencia, $1Hz = 1s^{-1} = 1 \text{ cps}$; $\omega(\text{rad/s}) = 2\pi f \equiv$ frecuencia angular

NOTA: Los ángulos de fase φ_V y φ_I son las *fases iniciales* (para $t=0$) de cada señal. Cualquiera de ellas puede tomarse arbitrariamente como 0, pero no ambas, dado que están relacionadas por $\varphi_V - \varphi_I = \varphi_Z$ (véase más abajo).

1ª Ley de Ohm para CA: $Z(\Omega) = V(V) / I(A)$; Z es la *impedancia compleja*; $Z = 1/Y$; $1\Omega = 1/S$
 $Y(S) = I(A) / V(V)$; Y es la *admitancia compleja*; $Y = 1/Z$; $1S = 1/\Omega$

Reemplazando $V(t) = V_0 e^{j(\omega t + \varphi_V)}$ e $I(t) = I_0 e^{j(\omega t + \varphi_I)}$ resulta:

$$Z(\Omega) = V(V) / I(A) = V_0 e^{j(\omega t + \varphi_V)} / I_0 e^{j(\omega t + \varphi_I)} = V_0/I_0 \cdot e^{j(\varphi_V - \varphi_I)}$$

o alternativamente: $Y(S) = I(A) / V(V) = I_0 e^{j(\omega t + \varphi_I)} / V_0 e^{j(\omega t + \varphi_V)} = I_0/V_0 \cdot e^{-j(\varphi_V - \varphi_I)}$ donde: $|Z| = 1/|Y| = V_0/I_0$ y $\varphi_Z = \varphi_V - \varphi_I$

Corolario: En circuitos de CA, la 1ª Ley de Ohm y las Leyes de Kirchoff, resultan idénticas que las equivalentes para circuitos de CC, excepto que las Resistencias (Conductancias) se reemplazan por Impedancias (Admitancias) complejas, y las corrientes y tensiones constantes se reemplazan por *funciones armónicas complejas*.

Conexión de Impedancias Z (Admitancias Y): series y paralelos

dos Impedancias Z_1 y Z_2 conectadas *en serie* equivalen a la suma compleja de ambas Impedancias --> $Z_{\text{serie}} = Z_1 + Z_2$
 recíprocamente, $1/Y_{\text{serie}} = 1/Y_1 + 1/Y_2$ o bien $Y_{\text{serie}} = (Y_1 \cdot Y_2) / (Y_1 + Y_2)$ (*sumas, productos y cocientes, como Nos. complejos*)

dos Admitancias Y_1 e Y_2 conectadas *en paralelo* equivalen a la suma compleja de ambas Admitancias --> $Y_{\parallel} = Y_1 + Y_2$
 recíprocamente, $1/Z_{\parallel} = 1/Z_1 + 1/Z_2$ o bien $Z_{\parallel} = (Z_1 \cdot Z_2) / (Z_1 + Z_2)$ (*sumas, productos y cocientes, como Nos. complejos*)

Resistencia real y Reactancia imaginaria:

Resistencia: $R = 1 \cdot R = R \cdot e^{j \cdot 0}$; $\text{Re}R = R$, $\text{Im}R = 0$; $|R| = R$, $\varphi_R = 0$
 Reactancia capacitiva: $X_C = -j/\omega C = 1/\omega C \cdot e^{-j\pi/2}$; $\text{Re}X_C = 0$, $\text{Im}X_C = -1/\omega C$; $|X_C| = 1/\omega C$, $\varphi_{X_C} = -\pi/2$
 Reactancia inductiva: $X_L = j\omega L = \omega L \cdot e^{j\pi/2}$; $\text{Re}X_L = 0$, $\text{Im}X_L = \omega L$; $|X_L| = \omega L$, $\varphi_{X_L} = \pi/2$

NOTA: R es siempre un No real positivo; X (capacitiva o inductiva) es un No complejo *imaginario puro*

NOTA: R, X y Z se expresan en Ω ; G e Y se expresan en $S = 1/\Omega$

Impedancia compleja: $Z = R + j \cdot X = \text{Re}Z + j \cdot \text{Im}Z = |Z| \cdot e^{j\varphi_Z}$

donde:

$$\text{Re}Z = |Z| \cdot \cos(\varphi_Z) = R; \quad \text{Im}Z = |Z| \cdot \sin(\varphi_Z) = X/j = -jX \quad \text{NOTA: } 1/j = -j$$

$$|Z|^2 = Z \cdot Z^* = [\text{Re}Z^2 + \text{Im}Z^2] = R^2 + X \cdot X = R^2 + |X|^2;$$

$$\cos(\varphi_Z) = \text{Re}Z / |Z| = R/|Z| \quad \varphi_Z = \cos^{-1}(\text{Re}Z/|Z|) = \cos^{-1}(R/|Z|)$$

$$\sin(\varphi_Z) = \text{Im}Z / |Z| = X/j|Z| = -jX/|Z| \quad \varphi_Z = \sin^{-1}(\text{Im}Z/|Z|) = \sin^{-1}(-jX/|Z|)$$

$$\varphi_Z = \text{tg}^{-1}(\text{Im}Z/\text{Re}Z) = \text{tg}^{-1}(-j \cdot X/R)$$

NOTA: para determinar *el cuadrante* de φ_Z (1° ó 4° cuadrante, según que la reactancia resulte inductiva o capacitiva, respectivamente), es necesario calcular 2 (dos) de las funciones trigonométricas que lo definen, o identificarlo por *el signo* de $\text{Im}Z$ (recuerde que R es siempre positiva). Si $\text{Im}Z$ es positiva, φ_Z está en el 1^er cuadrante, y X es *reactancia inductiva* con una inductancia equivalente $L = \text{Im}Z/\omega$; si $\text{Im}Z$ es negativa, φ_Z está en el 4° cuadrante, y X es *reactancia capacitiva* con una capacidad equivalente $C = -\omega \cdot \text{Im}Z$;

b) Circuito divisor de tensión con impedancias

El circuito de la Fig. GP 3-1 muestra un divisor de tensión formado por impedancias genéricas (ignore las figuras internas con R,L y C) $Z_1 = |Z_1| e^{j\varphi_{Z1}}$ y $Z_2 = |Z_2| e^{j\varphi_{Z2}}$. La tensión de entrada es $V_e = V_0 e^{j(\omega t)}$ (suponer el nodo *b* a tierra) y la de salida en el nodo *a* es $V_s = V_1 e^{j(\omega t + \varphi_{VS})}$ (ignore los valores numéricos en el circuito de la Figura).

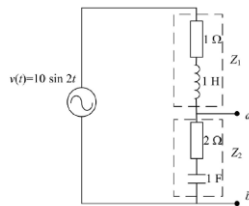


Figura GP 3-1 Divisor de tensión con impedancias

Siguiendo el mismo procedimiento desarrollado antes para el divisor de tensión resistivo, se puede calcular el Equivalente de Thevenin de este circuito:

$$V_{eq} = V_{CA} = V_e \cdot Z_2 / (Z_1 + Z_2)$$

$$Z_{eq} = Z_1 // Z_2 = (Z_1 \cdot Z_2) / (Z_1 + Z_2)$$

La *función de transferencia* compleja $A = V_s/V_e$ resulta en $A = Z_2 / (Z_1 + Z_2)$ con: $|A| = |Z_2| / |Z_1 + Z_2|$ y $\varphi_A = \varphi_{Z2} - \varphi_{(Z1 + Z2)}$

NOTA: tener en cuenta que $|Z_1 + Z_2| \neq |Z_1| + |Z_2|$ y que $\varphi_{(Z1 + Z2)} \neq \varphi_{Z1} + \varphi_{Z2}$

d) Filtros capacitivos

El divisor de tensión con impedancias genérico planteado arriba adopta dos configuraciones de interés: el *filtro pasa-bajos* y el *filtro pasa-altos*. En el filtro *pasa-bajos* Z_1 es una resistencia ideal R y Z_2 un capacitor ideal ($X_C = -j/\omega C = (1/\omega C) \cdot e^{-j\pi/2}$). En el filtro *pasa-altos*, R y C están intercambiadas respecto del *pasa-bajos*.

Función de transferencia del filtro RC simple, configuración pasa-bajos:

Reemplazando en la expresión (véase más arriba), la función de transferencia compleja del filtro *pasa-bajos* queda

$$A = X_C / (R + X_C) = \frac{-j/\omega C}{R - j/\omega C}$$

El numerador es $1/\omega C \cdot e^{-j\pi/2}$, y el denominador (R conectado en serie con C) es

$$Z = |Z| e^{j\varphi_Z}, \text{ con } |Z| = [R^2 + 1/(\omega C)^2]^{1/2} \text{ y } \varphi_Z = \text{tg}^{-1}(-1/\omega RC) = \text{tg}^{-1}(-\omega_0/\omega).$$

donde se ha adoptado la definición $\omega_0 = 1/RC$.

Operando los números complejos queda

$$A = \frac{e^{-j(\varphi_Z + \pi/2)}}{\omega C \cdot [R^2 + 1/(\omega C)^2]^{1/2}} = \frac{e^{-j(\varphi_Z + \pi/2)}}{[1 + (\frac{\omega}{\omega_0})^2]^{1/2}} = \frac{(\frac{\omega_0}{\omega}) e^{-j(\varphi_Z + \pi/2)}}{[1 + (\frac{\omega_0}{\omega})^2]^{1/2}}$$

con

$$|A| = \frac{1}{[1 + (\frac{\omega}{\omega_0})^2]^{1/2}} = \frac{(\frac{\omega_0}{\omega})}{[1 + (\frac{\omega_0}{\omega})^2]^{1/2}}$$

$$\varphi_A = -(\varphi_Z + \pi/2)$$

NOTA: Tanto $|A|$ como φ_A resultan ser funciones de la frecuencia angular ω . Las dos formas de expresar $|A|$ como $f(\omega)$ son idénticas, pero la primera es útil para analizar el comportamiento límite de $|A|$ cuando $\omega \gg \omega_0$, mientras que la segunda es útil para analizar el límite $\omega \ll \omega_0$, (véase más abajo, *Diagramas de Bode*)

Eliminando $\pi/2$ en φ_A se obtiene $\text{tg}(\varphi_A) = -\text{tg}(\varphi_Z + \pi/2) = 1/\text{tg}(\varphi_Z) = -\omega/\omega_0$
 es decir: $\varphi_A = \text{tg}^{-1}(-\omega/\omega_0) = -\text{tg}^{-1}(\omega/\omega_0)$

A continuación se muestran los gráficos de $|A|$ (adimensional) a la izquierda y $\varphi_A(^{\circ})$ a la derecha, como funciones de la frecuencia angular normalizada ω/ω_0 . (Fig. GP 3-2)

GP 3: Circuitos de CA

GP 4: Filtros RC

NOTA: solamente las frecuencias positivas tienen significado físico. En el gráfico de la fase, se muestran valores de frecuencia negativos para que se pueda reconocer la función $-\text{tg}^{-1}(x) = \text{arc tg}(x)$.

NOTA: Los gráficos se generaron con la herramienta disponible en <http://rechneronline.de/function-graphs/>

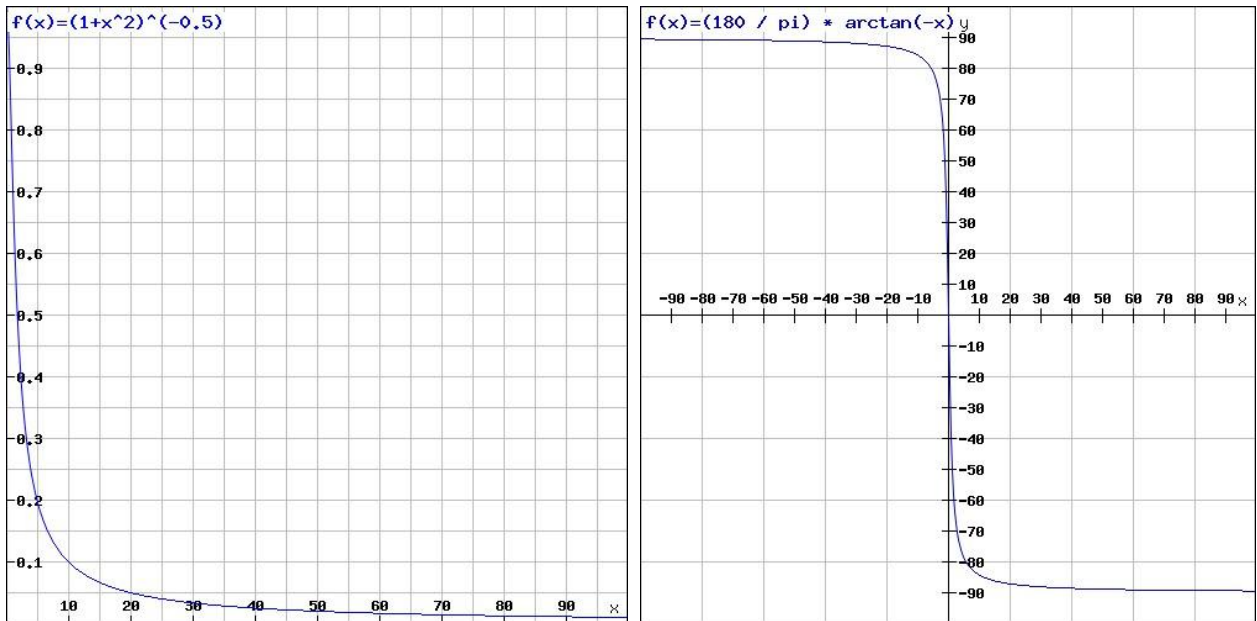


Figura GP 3-2 izquierda: $|A|$ vs. ω/ω_0 (ambos ejes son adimensionales); derecha: $\phi_A(^{\circ})$ vs. ω/ω_0

La Fig. GP 3-3 muestra las mismas funciones, en escala ampliada, lo que permite reconocer los detalles:

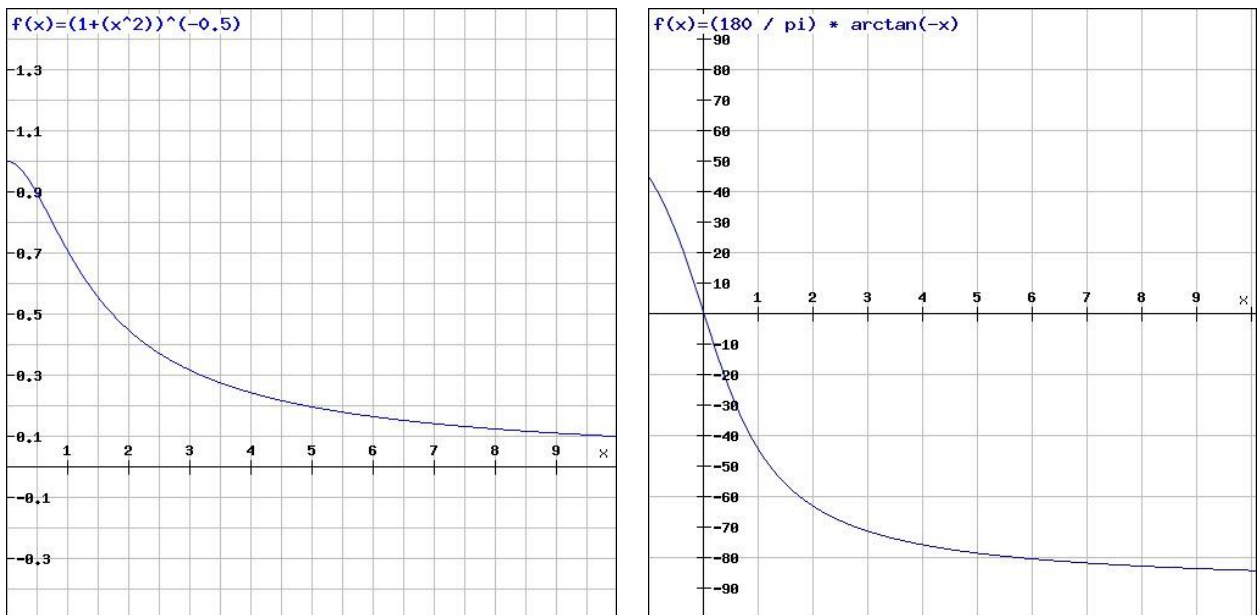


Figura GP 3-3 izquierda: $|A|$ vs. ω/ω_0 (ambos ejes son adimensionales); derecha: $\phi_A(^{\circ})$ vs. ω/ω_0

Para $\omega = 0$ la transferencia $|A|=1$ y la fase es 0° (el capacitor se comporta como circuito abierto y el atenuador se asemeja a un divisor resistivo). Para $\omega \rightarrow \infty$ la transferencia $|A| \rightarrow 0$ y la fase $\rightarrow -90^{\circ}$ (el capacitor tiende a ser un cortocircuito pero impone un desfase sobre Vs).

Cuando ω toma el valor particular ω_0 (entonces $\omega/\omega_0 = 1$), resulta $|A| = 1/\sqrt{2} = (\sqrt{2})/2 \approx 0,707$ y la fase vale -45° . Para este valor de la frecuencia, $V_s = V_e/\sqrt{2}$ y está atrasado en $\pi/4$ respecto de V_e .

El valor $\omega_0 = 1/RC$ se denomina *frecuencia angular de corte* y corresponde a $f_0 = 1/(2\pi RC)$ denominado *frecuencia de corte*.

A fin de hacer más evidente los comportamientos asintóticos $\omega \rightarrow 0$ y $\omega \rightarrow \infty$, se han diseñado ls representaciones denominadas *Diagramas de Bode* (por su inventor):

Diagrama de Bode de la Amplitud: $\log(|A|)$ vs. $\log(\omega)$
 Diagrama de Bode de la fase: ϕ_A vs. $\log(\omega)$

NOTA: log significa \log_{10} (logaritmo en base 10).

Se define la unidad *decibel* para la ganancia en tensión: $|A| \text{ (dB)} = 10 \cdot \log(V_s/V_e)$.
En esta escala, 1 dB equivale a ganancia 10 ($V_s/V_e = 10$), 0dB equivale a ganancia unitaria ($V_s=V_e$) y valores negativos corresponden a "ganancias" inferiores a la unidad (lo que denominamos "atenuación"). Cuando $V_s \rightarrow 0$ $|A| \rightarrow -\infty(\text{dB})$

La Fig. GP 3-4 muestra los dos Diagramas de Bode:

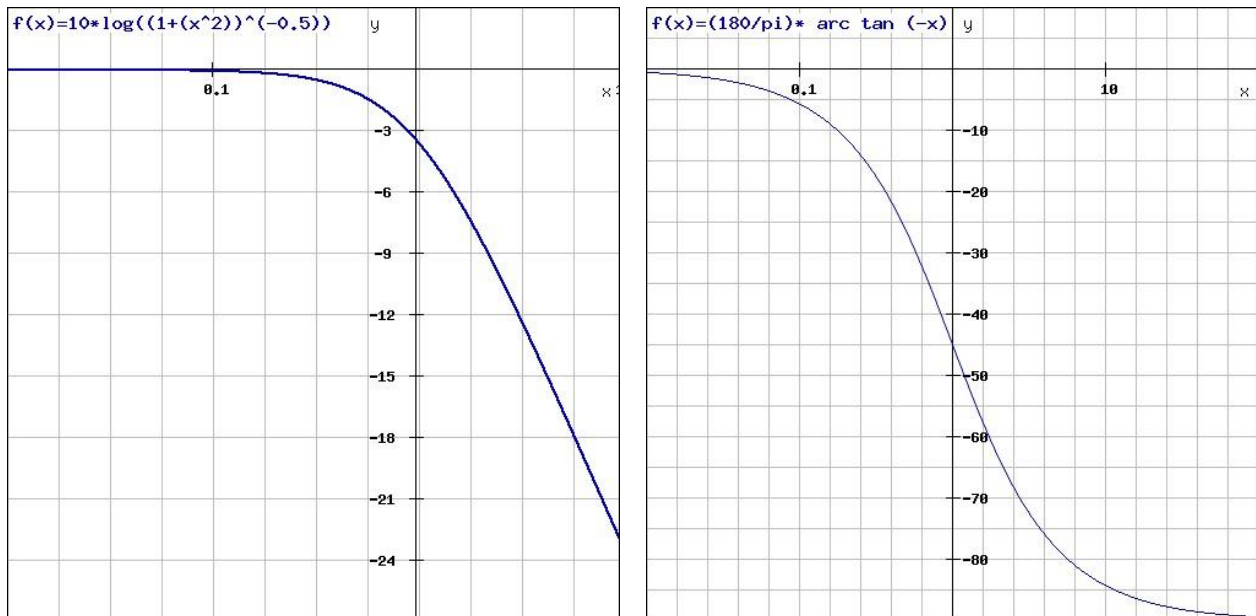


Figura GP 3-4 izquierda: Diagrama de Bode de la Amplitud $|A| \text{ (dB)}$ vs. $\log(\omega/\omega_0)$
derecha: Diagrama de Bode de la Fase $\varphi_A(^{\circ})$ vs. $\log(\omega/\omega_0)$

Debido a la escala logarítmica en ω/ω_0 los valores extremos de ω no pueden representarse. El rango de frecuencias representadas corresponde a: $0,01\omega_0 \leq \omega \leq 100\omega_0$.

Para $\omega/\omega_0 = 1$ se observa $|A| = -3\text{dB}$ (corresponde a $|A| = \sqrt{2}$) y $\varphi_A = -45^{\circ}$. En el Diagrama de Bode de la Amplitud, la asíntota horizontal ($\omega \rightarrow 0$) tiene pendiente nula y ordenada al origen 0dB. La asíntota para $\omega \rightarrow \infty$ tiene una pendiente de -10dB/década (una *década* es un intervalo de frecuencias $\omega_1 - \omega_2$ separadas por un factor 10 ($\omega_2 / \omega_1 = 10$, $\log(\omega_2 / \omega_1) = 1$). También se define el intervalo de frecuencias octava (una *octava* es un intervalo de frecuencias $\omega_1 - \omega_2$ separadas por un factor 2 ($\omega_2 / \omega_1 = 2$, $\log(\omega_2 / \omega_1) \approx 0,301$), y la pendiente de la asíntota se expresa también como -3dB/octava.

PROBLEMAS

Problema 3-1:

Calcular la impedancia compleja Z de los siguientes arreglos de resistencia y capacitor, $R = 1 \text{ K}\Omega$, $C = 1 \mu\text{F}$, $f = 50 \text{ Hz}$. Expresar Z en forma binomial y en forma exponencial. Graficar Z en el plano complejo.

- R en serie con C
- R en paralelo con C

Problema 3-2:

Para los dos circuitos del problema 3-1, calcular la admitancia compleja Y. Expresar Y en forma binomial y en forma exponencial. Graficar Y en el plano complejo.

Problema 3-3:

Considere los arreglos formados por una resistencia $R = 1 \text{ K}\Omega$ y un condensador C (circuito RC-simple), en las dos configuraciones de: "filtro pasa-bajos" y "filtro pasa-altos".

- ¿Qué valor tendrá que asignarse a C, para obtener una frecuencia de corte $f_0 = 30 \text{ KHz}$ en el pasa-bajos?
- ¿Qué valor tendrá que asignarse a C, para obtener una frecuencia de corte $f_0 = 0,1 \text{ Hz}$ en el pasa-altos?
- Para cada uno de los dos filtros, calcule la función de transferencia compleja $A = V_s/V_e$, suponiendo $V_e = V_0 e^{j\omega t}$, con los valores de C obtenidos en los puntos a) y b) anteriores. Haga un programa (pej. en EXCEL®, o en otra plataforma) que permita graficar $|A|$ y φ_A como función de la frecuencia angular ω en el intervalo $0,001 \omega_0 \leq \omega \leq 1000 \omega_0$. Grafique los Diagramas de Bode de la amplitud y la fase. Trazando las asíntotas "a mano" pero con mucha prolijidad, verifique que se cortan en $\omega = \omega_0$.